

6. Занько, М.Д. Удосконалення методів випробувань молотарки зернозбирального комбайна [Текст] : Автореферат дис. канд.техн.наук: / М.Д.Занько. – Глеваха, 2008. – 20 с.
7. Недовесов, В.И. Анализ экономичности технологического процесса зерноуборочного комбайна [Текст] / В.И.Недовесов, Г.А.Хайліс, Н.Д.Занько. – Тракторы и сельхозмашины. – 2011.. – №1 – С. 27-29.
8. Ерохин, Г.Н. Моделирование эксплуатационно-технологических показателей зерноуборочных комбайнов [Текст] / Г.Н.Ерохин, А.С.Решетов, В.В.Коновский. – Тракторы и сельхозмашины 2011. – №1. – С. 30-31.
9. Демко, А. Метод визначення пропускної здатності молотильно- сепарувального пристрою зернозбиральних комбайнів з урахуванням змінитехніко-експлуатаційних характеристик [Текст] / А. Демко, О. Надточій, О. Демко. – Техніка і технології АПК. – 2012. – №2. – С. 32–35.
10. Чаплыгин, М.Е. Повышение эффективности использования зерноуборочных комбайнов путем обоснования оптимальной ширины захвата жатки для условий Юга России: автореферат дис. ... канд. техн. наук [Текст] / М.Е.Чаплыгин. – М., 2015. – 20 с.
11. Аблін, Л.К. К методике определения рабочей скорости движения самоходного зерноуборочного комбайна [Текст] / Л.К. Аблін, М.М. Константинов. – Труды ЧИМЭСХ. – Вып. 65, ч. II. Эксплуатация и техническое обслуживание МТП. – Челябинск, 1973. – С. 20-23.
12. Иксанов, Ш.С. Повышение эффективности прямого комбайнирования зерновых культур на примере комбайна РСМ-101 "Вектор-410" в условиях Челябинской области [Текст] : автореф. дис. ... канд. техн. наук / Ш.С.Иксанов. – Оренбург, 2016. – 22 с.
13. Непочатенко, А.В. Економіко-математичне моделювання витрат під час збору врожаю залежно від потужності двигуна зернозбирального комбайна [Текст] / А.В. Непочатенко, В.А. Непочатенко . - Економіка та управління АПК, 2013. – Вип.11(106). – С. 130-136.

**Dmytro Voityuk, Prof., PhD tech. sci., Stanislav Smolinskyi, Assoc. Prof., PhD tech. sci.**

*National University of Life and Environmental Sciences of Ukraine, Kyiv, Ukraine*

### **Width of Harvester Header as Project Parameter**

The aim of the article is the analysis of the harvester header width as project parameter and the influence the harvesting and harvester parameters on quantity of header width.

In the article there are grounded the technological principles for calculation of the harvester header width on the foundation of the mass serves analysis and analyzed the algorithm for the determination of optimal harvester parameters to take into account the harvesting conditions and the technical date of harvester.

There are got the equation for determination of the width header parameter to harvest with the optimal serve of grain-crops mass for the harvesting conditions and the technical date of harvester and the equation between header width, engine power and mass for modern combine harvesters.

**grain-crops harvesting, harvester header, width, project**

Одержано 30.10.17

**УДК 631.361**

**Б.М. Гевко, проф., д-р техн. наук, В.М. Клендій, канд. техн. наук,  
Л.М. Слободян, асп., О.П., Марунич, асп.**

*Тернопільський національний технічний університет імені Івана Пулюя, м. Тернопіль,  
Україна, E-mail: oleglashuk@ukr.net*

## **Дослідження резонансних коливань горизонтального робочого органу гвинтового завантажувача-змішувача**

© Б.М. Гевко, В.М. Клендій, Л.М. Слободян, О.П. Марунич, 2017

Приведена конструкція гвинтового завантажувача-змішувача і досліджено питання резонансних коливань горизонтального робочого органу цього завантажувача. Визначальним параметром динаміки робочого гвинта завантажувача-змішувача є амплітуда та частота його нелінійних коливань.

Закони зміни вказаних параметрів визначаються геометричними, фізико-механічними властивостями його матеріалу, швидкістю руху вздовж нього зернової суміші, кутовою швидкістю його обертання та зовнішніми чинниками (силами опору та зовнішніми періодичними силами). Виведено залежність резонансних коливань за різних значень швидкості руху зернової суміші, її погонної маси, різних кутових швидкостей обертання горизонтального робочого органу за різних частот зовнішнього збурення.

Установлено, що якщо процес перемішування чи транспортування матеріалів проходить у дорезонансній зоні коливань, то шляхом зменшення кутової швидкості обертання ГРО короткочасно можна вийти на резонансну частоту.

**амплітуда, гвинтова спіраль, гвинтовий завантажувач-змішувач, коливання, резонанс**

**Б.М. Гевко, проф., д-р техн. наук, В.М. Клендий, канд. техн. наук, Л.М. Слободян, асп., О.П. Маруныч, асп.**

*Тернопольский национальный технический университет имени Ивана Пулюя, г. Тернополь, Украина*

### **Исследование резонансных колебаний горизонтального рабочего органа винтового загрузчика-смесителя**

Приведена конструкция винтового загрузчика-смесителя и исследован вопрос резонансных колебаний горизонтального рабочего органа этого загрузчика. Определяющим параметром динамики рабочего винта загрузчика-смесителя является амплитуда и частота его нелинейных колебаний.

Законы изменения указанных параметров определяются геометрическими, физико-механическими свойствами его материала, скоростью движения вдоль него зерновой смеси, угловой скоростью его вращения и внешними факторами (силами сопротивления и внешними периодическими силами). Выведены зависимость резонансных колебаний при различных значениях скорости движения зерновой смеси, ее погонной массы, различных угловых скоростей вращения горизонтального рабочего органа при различных частотах внешнего волнения.

Установлено, что если процесс перемешивания или транспортировки материалов проходит в дорезонансной зоне колебаний, то путем уменьшения угловой скорости вращения ГРО кратковременно можно выйти на резонансную частоту.

**амплитуда, винтовая спираль, винтовой загрузчик-смеситель, колебания, резонанс**

**Постановка проблеми.** Технічні засоби неперервного транспортування сипких матеріалів є основою комплексної механізації завантажувально-розвантажувальних робіт, які підвищують продуктивність та ефективність виробничих процесів.

Питома вага гвинтових конвеєрів у завантажувально-розвантажувальних роботах більшості будівельних, дорожніх, сільськогосподарських, переробних та інших машин складає близько 40-50%.

Відомо, що найбільш небезпечними режими експлуатації машин та обладнання є резонансні коливання. Вони характеризуються значним ростом амплітуди коливань, а значить і динамічних навантажень. Тому вказані режими роботи значною мірою зменшують експлуатаційні терміни машини. Якщо в окремих випадках не вдається уникнути резонансних явищ, то намагаються за рахунок вибору параметрів системи забезпечити мінімальний ріст амплітуди під час переходу через резонанс. Тому питання дослідження резонансних коливань має актуальнне значення для удосконалення їх конструкцій.

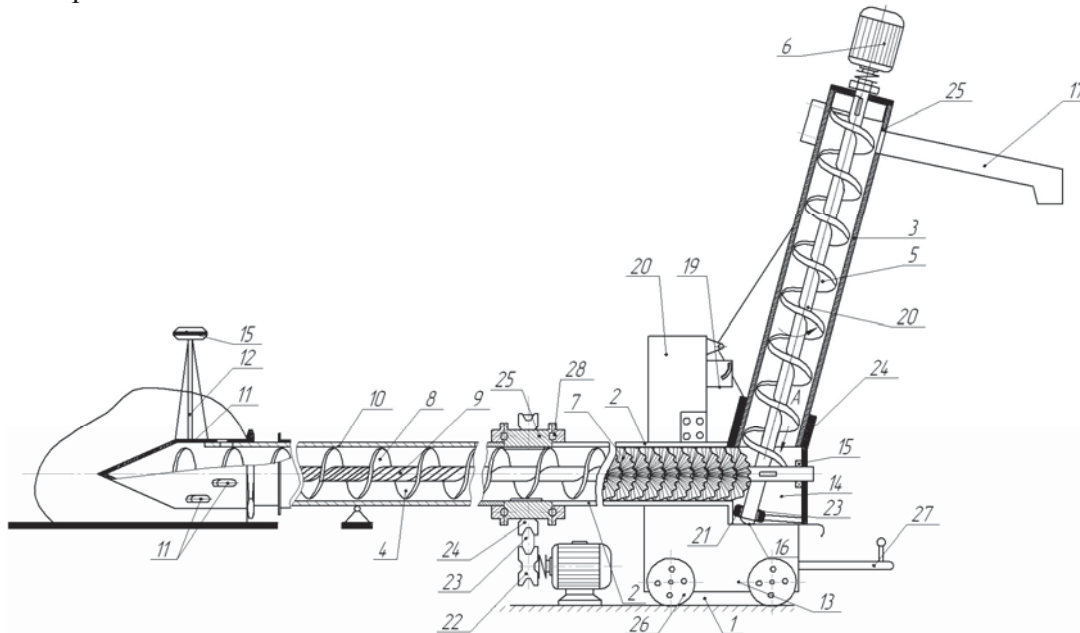
**Аналіз останніх досліджень і публікацій.** Взаємодію шнекових механізмів з сільськогосподарськими матеріалами, а також вибір раціональних параметрів ГТМ і режимів їх роботи, досліджували М.П. Василенко [4], Б.М. Гевко [5, 6], П.М. Заїка [12], Р.М. Рогатинський [29, 30], Ф.Г. Зуєв [16], В.Л. Куликівський [18] та інші. Проблемам визначення раціональних режимів роботи та конструктивних параметрів ГТМ присвячені роботи Р.Л. Зенкова [1, 13-15], А.М. Григорєва [8-10], Б.М. Гевка [6],

К.В. Алферова [1], Г.А. Хайліса [31], В.І. Плавінського [20], Н.В. Остапчука [24, 25], О.Р. Рогатинської [28], І.М. Хорольського [32].

Питаннями обґрутування параметрів коливань механічних систем присвячені праці І.М. Бабакова [2], О.А. Горошко [7], П.Д. Доценка [11], М.П. Мартинцева [19], М.А. Павловського [26], С.М. Нікіфорова [23], Ю.А. Митропольського [21], М.М. Боголюбова [3], та інші. Однак питання, які стосуються удосконалення конструкцій самих гвинтових механізмів і їх робочих органів, потребують подальшого дослідження.

**Постановка завдання.** Дослідити резонансні коливання горизонтального робочого органу завантажувача змішувача.

**Виклад основного матеріалу.** Нами розроблена конструкція гвинтового завантажувача-zmішувача (рис.1) [27], який виконано у вигляді рами 1, на якій встановлено завантажувальний горизонтальний 2 і вертикальний 3 циліндричні кожухи з гвинтовими робочими органами горизонтальними 4 і вертикальними 5, приводами 6 з запобіжними муфтами. Причому горизонтальний кожух 2 встановлено під кутом 2-5° до горизонту в сторону подачі сипкого матеріалу, а нижній кінець вертикального кожуха 3 встановлено у вільну зону горизонтального кожуха 2. Горизонтальна завантажувальна секція гвинтового робочого органу виконана у вигляді гвинтових гофрів 7 для покращення процесу змішування сипких матеріалів. Вертикальний гвинтовий робочий орган 5 виконано Г-подібної форми, причому співвідношення горизонтальної полички до вертикальної становить в межах 2-7 мм, при мінімальній величині вертикальної полички 2-4мм.



Наконечник 11 жорстко прикріплений до рукоятки 12 з можливістю їх переустановлення в інше місце, коли з одного місця купи сипкого матеріалу вибрано певну кількість матеріалу, а зона вивантаження горизонтальної секції 2 розміщена в півкруглому корпусі підставки 14 і утворюють сприятливу об'ємну зону 15, в якій встановлено нижній кінець вертикальною гвинтового робочого органу 5 для вільного транспортування матеріалів вертикальним гвинтовим робочим органом. В зоні правого кінця горизонтального циліндричного кожуха 2 поза його зону виконана опора циліндрична 14. Завантажувач-змішувач оснащений заслінкою 16 відомої конструкції для кінцевого його очищення після завершення технологічного процесу.

На виході вертикального кожуха 3 жорстко встановлено вивантажувальний лоток 17 для транспортування сипких матеріалів в ємність або кузов машини 18. Вертикальний кожух 3 жорстко встановлено в механізм регулювання кута його нахилу до горизонту 19 відомої конструкції, а до рами 1 жорстко закріплено пульт керування 20.

Вал вертикального гвинтового робочого органу 5 знизу встановлено в упорний сферичний підшипник 21 з можливістю кругового провертання в ємності 15 і зміни кута нахилу відомої конструкції, який по зовнішньому діаметру виконано циліндричної форми та є у жорсткій взаємодії з внутрішньою циліндричною поверхнею нижньої частини кожуха 3. Зверху підшипник закритий ущільнюючим диском. Крім цього, вертикальний вивантажувальний лоток 17 є у взаємодії з зовнішнім діаметром вертикального жолоба 3 в зоні вивантаження сипких матеріалів через гумову прокладку відомої конструкції, яка створює відповідне тертя і сприяє жорсткому утримуванню вивантажувального лотка 17.

Центральний привід механізму 22 встановлений на рамі 1 по середині довжини горизонтальної секції і за допомогою передачі 23 і зірочки 24 передається на корпус 25 і горизонтальний гвинтовий робочий орган 2. Плоскі гвинтові секції центрального приводу жорстко встановлені на валу і приварені до корпусу 25, а його вал є у взаємодії з основним валом 4 через шліци відомим способом і є його приводом. Крім цього завантажувач-змішувач встановлено на підставку 14 з опорними колесами 26 з гальмівними елементами і рукояткою його переміщення 27. Крім цього корпус 24 центрується кульками 28, а гвинтові гофровані елементи 7 жорстко встановлені на валу, який є у взаємодії з основним горизонтальним валом 2 через шліци відомим способом.

Робота завантажувача-змішувача гвинтового типу здійснюється наступним чином. Кінець гнучкої спіралі 8 з гнучким кожухом 10 з наконечником 11 вводять в купу сипкого матеріалу 29 разом з рукояткою 13. Після цього включають привід за допомогою пульта керування 20. За допомогою гнучкої спіралі 8 сипкий матеріал переміщується по горизонтальній трасі в жолобі 2 за допомогою плоских гвинтових елементів корпусу 25, де він інтенсивно змішується гвинтовим гофрованим робочим органом 7 і подається в зону вивантаження об'ємного збірника циліндричної форми і звідси вертикальним гвинтовим робочим органом 5 в зону вивантаження, вивантажувальний лоток 17 і в ємність для збору матеріалу (кузов машини) 18 або різного типу тари. В разі вибору сипкого матеріалу з даної зони, завантажувальну секцію за допомогою рукоятки 13 переставляють в нове місце.

Відомо [10], що найбільш небезпечними режимами експлуатації машин та обладнання є резонансні. Вони характеризуються значним ростом амплітуди коливань, а значить і динамічних навантажень. Тому вказані режими роботи значною мірою зменшують експлуатаційні терміни машин (мова не йде про спеціальні машини, принцип роботи котрих побудований на резонансних явищах). Якщо ж в окремих

випадках не вдається уникнути резонансних явищ, то намагаються за рахунок вибору параметрів системи забезпечити мінімальне значення (ріст) амплітуди під час переходу через резонанс. Звідки випливає, що дослідження резонансних явищ горизонтального робочого органу завантажувача-змішувача має не тільки теоретичне, але й практичне значення.

Із умови існування резонансних коливань, яку для випадку головних згинальних робочого органу можна записати у вигляді

$$\nu \approx \Omega - \frac{3\mu}{32} \frac{\pi^2}{l^2} \frac{a^2}{\Omega} + \left( \frac{\pi}{l} \right)^2 \frac{m}{m+\rho} \frac{u^2}{8\Omega}. \quad (1)$$

Таким чином, резонансне явище за різних значень швидкості руху зернової суміші, її погонної маси, різних кутових швидкостей обертання горизонтального робочого органу буде мати місце за різних частот зовнішнього збурення. Як було наголошено вище, реальний вплив малих амплітуд поперечних коливань горизонтальної вітки завантажувача-змішувача на власну частоту незначний. Із вказаного випливає, що домінуючу роль входження у резонанс відіграють: кутова швидкість обертання робочого органу, швидкість руху зернової суміші та її погонна маса. Таким чином, для різних значень вказаних параметрів амплітуда переходу через резонанс буде приймати різні значення. До того ж, як показано у [10], амплітуда проходження через резонанс залежить від різниці фаз власних та вимушених коливань, у нашому випадку  $\varphi = \psi - \theta$ . Перше резонансне наближення для сформульованої вище крайової задачі будемо шукати у вигляді асимптотичного подання, проте на відміну від нерезонансного випадку, амплітуда при переході через резонанс визначається співвідношенням вигляду

$$\frac{da}{dt} = \mu A_1(a, \phi), \quad (2)$$

$$\frac{d\varphi}{dt} = \Omega - \nu + \mu B_1(a, \varphi), \quad \varphi = \psi - \theta.$$

Задача полягає у визначенні такого виду функцій  $A_1(a, \phi), B_1(a, \phi)$  із урахуванням (1), (2), яке б для першого наближення задовольняло базовому рівнянню. Поступаючи подібним чином, як і для нерезонансного випадку із урахуванням (2), знаходимо

$$\begin{aligned} \frac{\partial y}{\partial t} &= \mu A_1(a, \phi) (\cos(\kappa x + \psi) - \cos(\kappa x - \psi)) - \\ &- a(\Omega + \mu B_1(a, \phi)) (\sin(\kappa x + \psi) + \sin(\kappa x - \psi)) + \mu \frac{\partial y}{\partial \theta} \nu + \mu \frac{\partial y}{\partial \psi} \Omega \\ \frac{\partial^2 y}{\partial t^2} &= \mu \frac{\partial A_1(a, \phi)}{\partial \phi} (\Omega - \nu) (\cos(\kappa x + \psi) - \cos(\kappa x - \psi)) - \\ &- 2\mu \Omega A_1(a, \phi) (s^3 n(\kappa x + \psi) + \sin(\kappa x - \psi)) + \frac{\partial^2 y}{\partial \psi^2} \Omega^2 + \frac{\partial^2 y}{\partial \theta^2} \nu^2 + 2 \frac{\partial^2 y}{\partial \theta \partial \psi} \nu \Omega. \end{aligned} \quad (3)$$

Отримані співвідношення дозволяють записати диференціальне рівняння, яке зв'язує шукані функції у вигляді

$$L \left( \frac{\partial^2 y_1}{\partial \psi^2}, \frac{\partial^2 y_1}{\partial \theta^2}, \dots, \frac{\partial^4 y_1}{\partial x^4} \right) = a V^2 \left( \frac{\pi}{l} \right)^2 \sin \frac{\pi}{l} x \cos \psi - \quad (4)$$

$$-2V \frac{\pi}{l} \cos \frac{\pi}{l} x \cos \psi + F(x, a, \psi, \theta) + \mu \sin \frac{\pi}{l} x \times \\ \times \left( \cos \psi \left( -\frac{\partial A(a, \phi)}{\partial \phi} (\Omega - \nu) + 2a\Omega B \right) + \sin \psi \left( a \frac{\partial B(a, \phi)}{\partial \phi} (\Omega - \nu) + 2A(a, \phi)\Omega \right) \right).$$

Таким чином, для резонансного випадку функція  $y_1(x, t)$  повинна бути розв'язком рівняння та задоволити однорідні крайові умови, якщо представити її у вигляді

$$y_1(x, a, \psi, \theta) = \sum \sin \frac{k\pi}{l} x Y_{1k}(a, \theta, \psi). \quad (5)$$

В такому разі коефіцієнти її розкладу  $Y_{1k}(a, \theta, \psi)$  зв'язані диференціальними рівняннями

a) при  $k=1$  -

$$\frac{\partial^2 Y_{11}}{\partial \psi^2} \omega^2 + 2 \frac{\partial Y_{11}}{\partial \psi \partial \theta} \nu \omega + \nu^2 \frac{\partial^2 Y_{11}}{\partial \theta^2} + (\alpha^2 \left( \frac{\pi}{l} \right)^4 + \omega^2) Y_{11} = \\ = a V^2 \left( \frac{\pi^2}{2l} \right) \cos \psi + \frac{1}{p} \int_0^l \sin \frac{\pi}{l} x F(a, x, \theta, \psi) dx + \\ + \left( \cos \psi \left( -\frac{\partial A(a, \phi)}{\partial \phi} (\Omega - \nu) + 2a\Omega B \right) + \sin \psi \left( a \frac{\partial B(a, \phi)}{\partial \phi} (\Omega - \nu) + 2A(a, \phi)\Omega \right) \right); \quad (6)$$

б) при  $k \neq 1$  -

$$\frac{\partial^2 Y_{1k}}{\partial \psi^2} \omega^2 + 2 \frac{\partial Y_{1k}}{\partial \psi \partial \theta} \nu \omega + \nu^2 \frac{\partial^2 Y_{1k}}{\partial \theta^2} + (\alpha^2 \left( \frac{k\pi}{l} \right)^4 + \Omega^2) Y_{1k} = \\ = a V^2 \frac{(k\pi)^2}{2l} \cos \psi + \frac{1}{p} \int_0^l \sin \frac{k\pi}{l} x F(a, x, \theta, \psi) dx . \quad (7)$$

Подібним чином, як і для нерезонансного випадку, умови відсутності у розкладах функції  $y_1(a, x, \psi, \theta)$ , а значить і у  $Y_{1k}(a, \psi, \theta)$  ( $k \neq 1$ ), перших гармонік  $\psi$  дозволяють отримати співвідношення, які визначають праві частини залежностей (6)

$$(\Omega - \nu) \frac{\partial A}{\partial \phi} - 2a\Omega B = \frac{1}{p} \frac{1}{4\pi^2} \sum_s e^{is\phi} \int_0^l \int_0^{2\pi} \int_0^{2\pi} F(a, x, \psi, \theta) \sin \frac{k\pi}{l} x e^{-is\phi} \cos \psi dx d\psi d\theta,$$

(8)

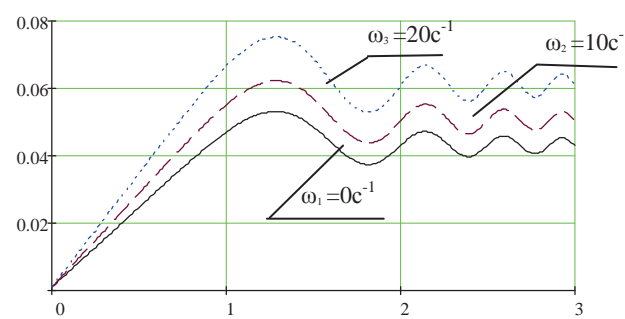
$$a \frac{\partial B}{\partial \phi} (\Omega - \nu) - 2A\Omega + V^2 \frac{\pi^2}{l^2} = \frac{1}{p} \frac{1}{4\pi^2} \sum_s e^{is\phi} \int_0^l \int_0^{2\pi} \int_0^{2\pi} F(a, x, \psi, \theta) \sin \frac{k\pi}{l} x e^{-is\phi} \cos \psi dx d\psi d\theta.$$

Для випадку, коли на гвинтовий змішувач діє періодичне збурення, яке не залежить від його прогину, а малі нелінійні сили визначаються як і для випадку власних коливань, диференціальні рівняння у резонансній області можна привести їх до вигляду

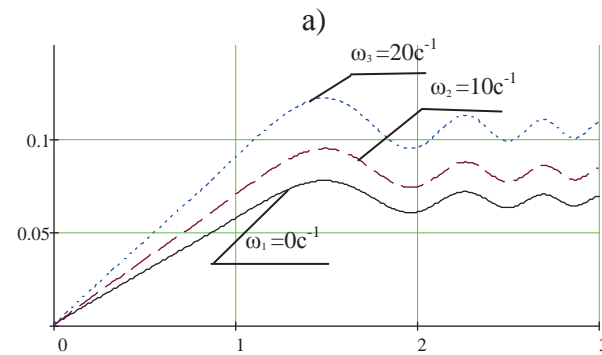
$$\frac{da}{dt} = -\frac{\bar{\delta}}{m + \rho} (\Omega)^{s-1} a^s - \frac{2\mu H}{\pi(\Omega + \nu(t))} \cos \varphi , \quad (9)$$

$$\frac{d\phi}{dt} = \Omega - \nu - \left( \frac{\pi}{l} \right)^2 \frac{mu^2}{8\Omega(m+\rho)} + \mu \left( \frac{2H}{\pi(\Omega+\nu(t))a} \sin \phi - \frac{3}{32} \frac{\pi^2}{l^2} \frac{a^2}{\omega} \right).$$

Відповідно до (9) на рис. 2 представлена резонансні криві амплітуд при швидкому та повільному переходах через резонанс ( $s = 1$ ).

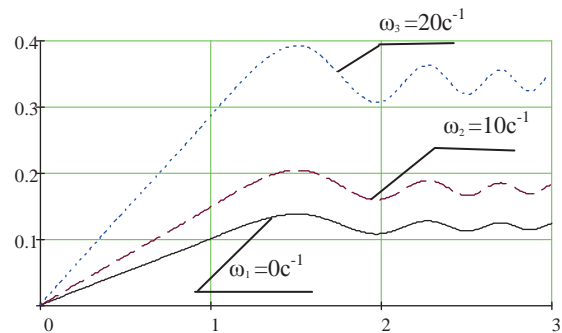


$\rho=10, m=10, I=6 \cdot 10^{-6}, E=2.06 \cdot 10^{11}, H=0.005, u=4, l=6$



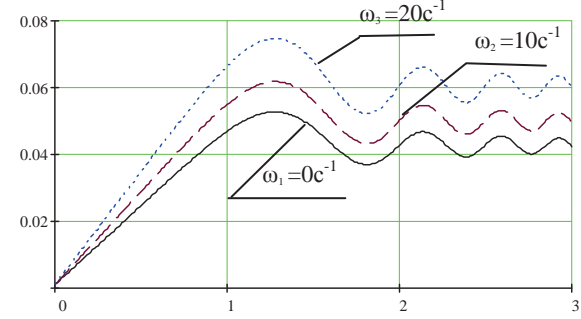
$\rho=10, m=20, I=6 \cdot 10^{-6}, E=2.06 \cdot 10^{11}, H=0.005, u=10, l=6$

б)

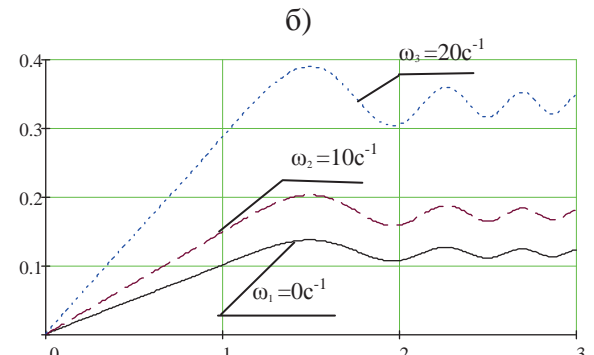


$\rho=10, m=20, I=6 \cdot 10^{-6}, E=2.06 \cdot 10^{11}, H=0.005, u=4, l=8$

д)

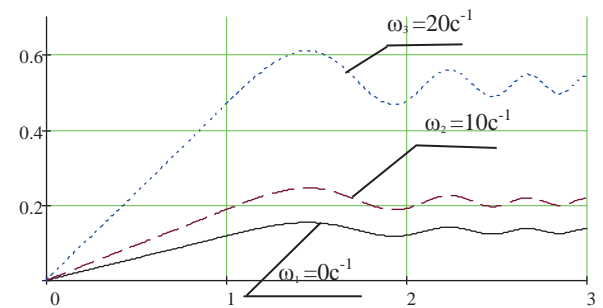


$\rho=10, m=10, I=6 \cdot 10^{-6}, E=2.06 \cdot 10^{11}, H=0.005, u=10, l=6$



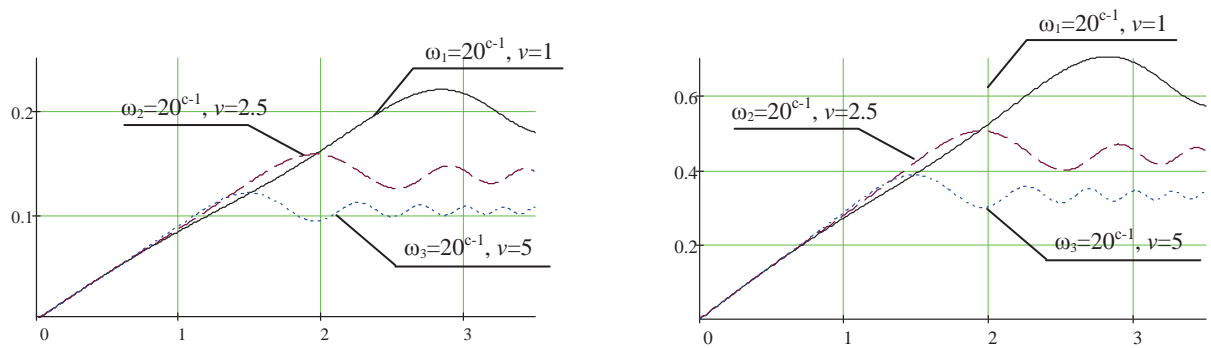
$\rho=10, m=20, I=6 \cdot 10^{-6}, E=2.06 \cdot 10^{11}, H=0.005, u=10, l=8$

г)



$\rho=10, m=30, I=6 \cdot 10^{-6}, E=2.06 \cdot 10^{11}, H=0.005, u=10, l=8$

е)



$$\rho=10, m=20, I=6 \cdot 10^{-6}, E=2, 06 \cdot 10^{11}, \omega_{\tilde{\alpha}\zeta}=34.831, H=0.005, u=8, l=6 \quad \text{e)} \quad \rho=10, m=20, I=6 \cdot 10^{-6}, E=2, 06 \cdot 10^{11}, \omega_{\tilde{\alpha}\zeta}=10.8431, H=0.005, u=8, l=8 \quad \text{j)}$$

## **Висновки**

Отримані теоретичні та побудовані на їх базі аналітичні залежності показують, що для:

- більших кутових швидкостей обертання робочого органу резонансне значення частоти є меншим, а амплітуда резонансу – більшою;
  - для робочих органів більшої довжини резонансне значення амплітуди є більшим;
  - із збільшенням кутової швидкості обертання резонансне значення амплітуди робочого органу зростає;
  - для зернової суміші більшої погонної маси резонанс має місце за меншої частоти робочого органу, одночасно резонансна амплітуда є меншою;
  - за більших значень відносної лінійної швидкості переміщення зернової суміші резонансна амплітуда є більшою
  - за менших величин швидкості переходу через резонанс амплітуда резонансу є більшою;
  - за менших величини різниці початкових фаз власних та вимушених коливань амплітуда резонансу є більшою.

## Список літератури

1. Алферов, К. В. Бункерные установки [Текст] / К. В. Алферов, Р. Л. Зенков. – М. : Машиностроение, 1975. – 307 с.
  2. Бабаков, И.М. Теория колебаний [Текст] / И.М. Бабаков. – М.: Наука, 1965. – 560с.
  3. Боголюбов Н.Н. Асимптотические методы в теории нелинейных колебаний [Текст] / Боголюбов Николай Николаевич, Митропольский Юрий Алексеевич. - М.: Наука, 1974. – 501 с.
  4. Василенко, П. М. Механизация и автоматизация процессов приготовления и дозирования кормов [Текст] / П. М. Василенко, И. И. Василенко. – М. : Агропромиздат, 1985. – 224 с.
  5. Гевко, Б.М. Научные основы разработки винтовых транспортирующих механизмов сельскохозяйственных машин [Текст] : автореф. дис. на соискание наук. степени доктора техн. наук : спец. 05.20.04 «Сельскохозяйственные и милиоративные машины» / Б. М. Гевко. – Ростов-на-Дону, 1987. – 45 с.
  6. Гевко, Б. М. Винтовые подающие механизмы сельскохозяйственных машин [Текст] / Б. М. Гевко, Р. М. Рогатынський. – Львов : Вища школа, 1989. – 176 с.
  7. Горошко, О.А. О продольных колебаниях балки с подвижным экипажем [Текст] / Горошко О.А. // Прикладная механика. - 1978. - 14. - №8. – С.70-78.
  8. Григор'єв, А. М. Комплексна механізація і автоматизація вантажорозвантажувальних і транспортних робіт в машинобудуванні і приладобудуванні [Текст] / А. М. Григор'єв, П. А. Преображенський. – К. : Наукова думка, 1967. – 116 с.

9. Григорьев, А. М. Винтовые конвейеры [Текст] / А. М. Григорьев. – М. : Машиностроение, 1972. – 184 с.
10. Григорьев, А. М. Гибкие шнеки [Текст] / А. М. Григор'ев, П. А. Преображенский. – К. : Знание, 1967. – 98 с.
11. Доценко, П.Д. О колебаниях и устойчивости прямолинейного трубопровода [Текст] / Доценко П.Д. // Прикладная механика. – 1971. – Вип. 3. – С.85- 91.
12. Заика, П. М. О выборе параметров винтовых транспортеров зерновых комбайнов [Текст] / П. М. Заика // Сельхозмашина, 1958. – № 2. – С. 22–24.
13. Зенков, Р. Л. Механика насыпных грузов [Текст] / Р. Л. Зенков. – М. : Машиностроение, 1973. – 220 с.
14. Зенков, Р. Л. Бункерные устройства [Текст] / Р. Л. Зенков. – М. : Машиностроение, 1972. – 182 с.
15. Зенков, Р. Л. Машины непрерывного транспорта [Текст] / Р. Л. Зенков, И. И. Ивашков, Л. Н. Колобов. – М. : Машиностроение, 1987. – 320 с.
16. Зуев, И. М. Монтаж, эксплуатация и ремонт машин в животноводстве [Текст] / И. М. Зуев, Э. П. Сорокин, А. В. Шпыро. – М. : Агропромиздат, 1988. – 447 с.
17. Каудерер, Г. Нелинейная механика [Текст] / Каудерер Г.: [пер. с нем. Я.Г. Пановко]. – М.: ИЛ, 1961.-777 с.
18. Куликівський, В. Л. Розробка гвинтових транспортерів з підвищеним ресурсом для зерноочисних машин [Текст] : автореф. дис. на здобуття наук. ступеня канд. техн. наук : спец. 05.05.11 «Машини і засоби сільськогосподарського виробництва» / В.Л. Куликівський. – Вінниця, 2012. – 20 с.
19. Мартинців, М.П. Одне узагальнення методу Д'Аламбера для систем, які характеризуються поздовжнім рухом [Текст] / М.П. Мартинців, М.Б. Сокіл // Науковий вісник: Збірник науково-технічних праць. – Львів: УДЛТУ, 2003. - Вип. 13.4.- С. 64-67.
20. Машины непрерывного транспорта / Под ред. В. И. Плавинского. – М. : Машиностроение, 1969. – 719 с.
21. Митропольский, Ю.А. Асимптотические решения уравнений в частных производных [Текст] / Ю.А. Митропольский., Б.И. Моссеенков. - Киев: Вища школа, 1976.- 84 с.
22. Моисеев, Н.Н. Асимптотические методы нелинейной механики [Текст] : [Учеб, пособие для ун-тов] / Моисеев Н.Н. [2-е изд., перераб.]. – М.: Наука, 1981. – 400
23. Никифоров, С.Н. Сопротивление материалов [Текст] / Никифоров С.Н. - М.: Высшая школа, 1966. – 584 с.
24. Остапчук, Н. В. Оптимизация технологических процессов на землеперерабатывающих предприятиях [Текст] / Н. В. Остапчук. – М. : Колос, 1974. – 144 с.
25. Остапчук, Н. В. Основы математического моделирования процессов пищевых производств: учебн. пособие для вузов [Текст] / Н. В. Остапчук. – К. : Вища школа, 1981. – 304 с.
26. Павловский, М.А. Теоретическая механика: для студ. втузов [Текст] / М.А. Павловский, Т.В. Путята. – К.: Вища школа, 1985. - 328 с.
27. Патент №99245, Україна Завантажувач гвинтовий з пересипом Клендій В.М та інші. Бюл.№10,2015.
28. Рогатинська, О. Р. Обґрунтuvання параметрів навантаження і конструкцій гвинтових конвеєрів [Текст] : автореф. дис. на здобуття наук. ступеня канд. техн. наук : спец. 05.05.05 «Піднімально-транспортні машини» / О. Р. Рогатинська. – Тернопіль, 2006. – 20 с.
29. Рогатинський, Р. М. Моделювання роботи малогабаритного лопатево-гвинтового змішувача [Текст] / Р. М. Рогатинський, І. Б Гевко, Д. В. Дмитрів // Сільськогосподарські машини: зб. наук. статей. – Луцьк, 2000. – Вип. 6. – С. 129–135.
30. Рогатинський, Р. М. Механіко-технологічні основи взаємодії шнекових робочих органів із сировиною сільськогосподарського виробництва [Текст] : автореф. дис. на здобуття наук. ступеня доктора техн. наук : спец. 05.20.01 «Піднімально-транспортні машини», 05.05.05 «Механізація сільськогосподарського виробництва» / Р. М. Рогатинський. – Київ, 1997. – 52 с.
31. Хайліс, Г. А. Основы теории и расчета сельскохозяйственных машин [Текст] / Г. А. Хайліс. – К. : Ізд-во УСХА, 1992. – 240 с.
32. Хорольський, І. М. Динаміка ланцюгових систем і замкнутих контурів машин неперервного транспорту [Текст] / І. М. Хорольський. – Львів : вид. ДУ «Львівська політехніка», 1999. – 194 с.

**Bogdan Hevko, Prof. Dr.Sc. Eng., Volodymyr Klendiy, PhD tech. sci., Lyubomir Slobodian, post-graduate, Alexander Marunych, post-graduate**

*Ternopil Ivan Pul'uj National Technical University, Ternopil, Ukraine*

**Research Resonant Oscillations of the Horizontal Working Body of the Screw Loader-mixer**

The design of the screw loader-mixer is presented and resonance oscillations of the horizontal working body of this loader are investigated. The defining parameter of the dynamics of the worker screw of the mixer loader is the amplitude and frequency of its nonlinear oscillations.

The laws of changing these parameters are determined by the geometric, physical and mechanical properties of its material, the velocity along its grain mixture, the angular velocity of its rotation, and external factors (forces of resistance and external periodic forces). The dependence of the resonance oscillations on various values of the speed of the grain mixture, its linear mass, and the various angular velocities of the rotation of the horizontal working body for different frequencies of external perturbation is derived.

It is established that if the process of mixing or transporting materials takes place in the pre-resonant zone of oscillation, then by reducing the angular velocity of rotation of the GS can be obtained for a short time on the resonant frequency.

**amplitude, screw spiral, screw loader mixer, oscillation, resonance**

Одержано 04.12.17

**УДК 681.513.5**

**Б.М. Гончаренко, д-р техн. наук, О.П. Лобок, канд. фіз.-мат. наук, М.А. Сич, асп.**

*Національний університет харчових технологій, м. Київ, Україна*

*E-mail: goncharenkobn@i.ua*

**Л.Г. Віхрова, проф. канд. техн. наук**

*Центральноукраїнський національний техничний університет, м. Кропивницький, Україна*

## **Математичне моделювання процесу біологічного очищення забруднених вод як об'єкта автоматичного керування**

Наведені та обґрунтовані прийняті припущення при складанні математичної моделі процесу. Представлена і розглянута структурно-параметрична схема технологічного процесу біологічного очищення забруднених вод. Наведена в диференціальному вигляді математична модель та дані роз'яснення складових. Вибрані вхідна (керувальна) та вихідна (керована) величини моделі за каналом керувального діяння. З метою подальшого полегшення розв'язку наводяться вираз математичної моделі у векторному вигляді та вираз керованої величини. Проведена лінеаризація моделі та наведений її лінеаризований вигляд. Наведені вирази дискретних операторів критерія якості керування процесом очищення, дробового  $PI^{\lambda}D^{\mu}$ - регулятора та системи керування в цілому. Наведені результати чисельного моделювання системи керування процесом очищення води на основі розробленої моделі.

**біологічне очищення води, математичне моделювання, оптимальне керування, чисельне моделювання, дробовий регулятор**

**Б.Н. Гончаренко, проф., д-р техн. наук, А.П. Лобок, канд. физ.-мат. наук, М.А. Сич, асп.**

*Национальный университет пищевых технологий, г.Киев, Украина*

**Л.Г. Віхрова, проф., канд. техн. наук**

*Центральноукраинский национальный технический университет, г.Кропивницкий, Украина*

**Математическое моделирование процесса биологической очистки загрязненных вод как объекта автоматического управления**

---

© Б.М. Гончаренко, О.П. Лобок, М.А. Сич, Л.Г. Віхрова, 2017